### Белякова Татьяна Сагадатовна

# СПОСОБ ФОРМИРОВАНИЯ ИЛЕОТРАНСВЕРЗОАНАСТОМОЗА В УСЛОВИЯХ ОСТРОЙ КИШЕЧНОЙ НЕПРОХОДИМОСТИ

3.1.9. Хирургия

Автореферат диссертации на соискание ученой степени кандидата медицинских наук Работа выполнена в федеральном государственном бюджетном образовательном учреждении высшего образования «Новосибирский государственный медицинский университет» Министерства здравоохранения Российской Федерации

TT U	
Научный	руководитель:
IIM, IIIDIII	руководитель

доктор медицинских наук, профессор

Атаманов Константин Викторович

#### Официальные оппоненты:

доктор медицинских наук, профессор **Лубянский Владимир Григорьевич** (Федеральное государственное бюджетное образовательное учреждение высшего образования «Алтайский государственный медицинский университет» Министерства здравоохранения Российской Федерации, кафедра госпитальной хирургии, профессор кафедры)

доктор медицинских наук, профессор **Первова Ольга Владимировна** (Федеральное государственное бюджетное образовательное учреждение высшего образования «Красноярский государственный медицинский университет им. проф. В. Ф. Войно-Ясенецкого» Министерства здравоохранения Российской Федерации, кафедра госпитальной хирургии имени профессора А. М. Дыхно, профессор кафедры)

#### Ведущая организация:

г осударственное	оюджетное	учреждение	Санкт-петеро	ургскии	научно-иссл	едовател	ьскии
институт скорой п	омощи им. И.	И. Джанелидзе	2				
2		- ,,	2025			***	

С диссертацией можно ознакомиться в библиотеке и на сайте Новосибирского государственного медицинского университета (630091, г. Новосибирск, ул. Залесского, д. 4; тел. 8(383)222-68-35; https://new.ngmu.ru/dissers/get-file/4966)

Автореферат разослан «_	»	2025 г.
-------------------------	---	---------

Учёный секретарь диссертационного совета

А. С. Полякевич

#### ОБЩАЯ ХАРАКТЕРИСТИКА РАБОТЫ

**Актуальность избранной темы.** Острая кишечная непроходимость (ОКН) остается значимой проблемой в современной хирургии. Несмотря на прогресс медицинской науки, летальность при заболевании составляет 5–17 % (Ревишвили А. Ш. и др., 2019), а при развитии осложнений достигает 50 % (Вайнер Ю. С. и др., 2020; Чернядьев С. А. и др., 2016).

При ОКН возникает нарушение пассажа кишечного содержимого и дилатация кишечника за счет скопления жидкости и газов, возрастает внутриполостное и внутрибрюшное давление (Коробков Д. М. и др., 2016). В результате ухудшается кровоснабжение стенки кишки, возникает ее некроз, из просвета кишечника транслоцируется бактериальная флора, что приводит к развитию перитонита, сепсиса и полиорганной недостаточности (Маев И. В. и др., 2013). Интоксикация при ОКН обусловлена бактериальными экзо- и эндотоксинами, деструкцией кишечной стенки, перитонитом, продуктами гниения, избытком метаболитов и регуляторных субстанций, а также нарушением работы систем естественной детоксикации и иммунитета. Синдром интраабдоминальной гипертензии приводит к сдавлению органов брюшной полости и почек, магистральных сосудов, оттеснению диафрагмы с компрессией легких и сердца (Черданцев Д. В. и др., 2016).

По данным разных авторов, частота несостоятельности кишечного анастомоза (НА) при плановых операциях на толстой кишке составляет 4,1–8,4 % (Frasson M. et al., 2016), а при экстренных операциях достигает 20–35 % (Есипов В. К. и др., 2022). На риск осложнений влияет локализация анастомоза: НА случается в 3,8–8,1 % правосторонних гемиколэктомий, в 5,2–6,4 % других резекций ободочной кишки и, по разным данным, до 20 % резекций прямой кишки (Меуег J. et al., 2019).

Нарушение герметичности анастомоза ведет к распространению кишечного содержимого с патогенной микрофлорой по брюшной полости, развитию гнойных осложнений. Именно НА является наиболее частой причиной послеоперационного перитонита, составляя около 40 % от всех его причин. У 40–78 % пациентов с НА возникают септические осложнения (Чернядьев С. А. и др., 2016). Другой

серьезной проблемой являются кишечные свищи: чем выше уровень свища, тем больше объем потери нутриентов, электролитов и жидкости, и тем быстрее наступает истощение (Жариков А. Н. и др., 2023).

В последние годы продолжаются исследования, целью которых является разработка методов для уменьшения риска НА, что особенно актуально в условиях ОКН. При принятии решения о формировании анастомоза базовым принципом профилактики несостоятельности является выбор участка кишки с адекватным кровотоком (Алиев Ф. Ш. и др., 2014; Кудряшова В. Н. и др., 2014; Khan S. M. et al., 2023).

Степень разработанности диссертации. В настоящее время хирургами активно используются методы механического укрепления анастомоза кишечными швами, биологическими и химическими субстанциями, экстраперитонизация анастомоза (Горский В. А. и др., 2014; Маркосьян С. А. и др., 2017; Raptis D. et al., 2018). Однако, данные об эффективности перечисленных методов часто противоречивы, большинство не имеют достаточной доказательной базы, чтобы рекомендовать их к применению. Необходим дальнейший поиск способов профилактики несостоятельности кишечного анастомоза.

**Цель исследования.** Разработать способ тонко-толстокишечного анастомоза в условиях экспериментальной модели острой кишечной непроходимости, учитывающий сосудистую архитектонику стенки тонкой кишки, позволяющий улучшить адаптацию сшиваемых участков кишки и снизить риск возникновения несостоятельности кишечных швов.

#### Задачи исследования

- 1. Изучить особенности артериального и венозного русла в стенке тонкой кишки человека при пересечении под углами  $45^{0}$ ,  $90^{0}$  и на продольном противобрыжеечном участке кишки.
- 2. Разработать способ тонко-толстокишечного анастомоза в условиях экспериментальной модели острой кишечной непроходимости 24-часовой давности, учитывающий сосудистую архитектонику стенки тонкой кишки, который позволяет улучшить репаративные процессы в зоне анастомоза и снизить риск возникновения

несостоятельности кишечных швов.

- 3. Провести анатомическое обоснование применения способа тонко-толстокишечного анастомоза «конец в конец» при пересечении тонкой кишки под углом 45<sup>0</sup> к брыжеечному краю.
- 4. Оценить зависимость частоты несостоятельности анастомоза, абсцессов брюшной полости, летальных исходов от способа формирования тонко-толстокишечного анастомоза в условиях экспериментальной острой кишечной непроходимости при сравнении анастомозов «конец в конец» со срезом тонкой кишки под углом 45<sup>0</sup> к брыжеечному краю и анастомозов «бок в бок».
- 5. Провести микроморфометрический анализ сосудистого русла, воспалительной реакции и репаративного процесса в тонко-толстокишечных анастомозах, сформированных в условиях экспериментальной модели острой кишечной непроходимости по методу «конец в конец» со срезом тонкой кишки под углом 45° к брыжеечному краю, и в анастомозах «бок в бок».

**Научная новизна.** Впервые проведена сравнительная микроморфометрия артериального и венозного русла тонкой кишки человека при пересечении под углами  $45^{0}$ ,  $90^{0}$  и на противобрыжеечном продольном участке кишки.

Впервые разработан и выполнен в эксперименте предложенный автором способ тонко-толстокишечного анастомоза в условиях ОКН.

Впервые изучено влияние косого среза тонкой кишки на соотношение окружностей тонкой и толстой кишки в месте формирования тонко-толстокишечного анастомоза.

Впервые проанализировано влияние косого среза тонкой кишки при формировании тонко-толстокишечного анастомоза в условиях экспериментальной ОКН на частоту НА и абсцессов брюшной полости, летальность.

Впервые оценены параметры кровотока, воспаления и репаративного процесса в тонко-толстокишечном анастомозе «конец в конец» с пересечением тонкой кишки под углом  $45^0$ , спустя 7 суток после формирования в условиях экспериментальной модели ОКН, проведено сравнение с тонко-толстокишечным анастомозом «бок в бок».

Теоретическая и практическая значимость работы. Анатомическое исследование, выполненное автором, разработать позволило способ тонко-толстокишечного анастомоза, который снизил частоту НА, абсцессов брюшной полости и летальность в условиях экспериментальной модели ОКН. могут Достигнутые быть преподавательской результаты использованы В деятельности и в клинической практике.

Методология и методы диссертационного исследования. Для достижения цели измерены соотношения длин окружности тонкой и толстой кишки при поперечном и косом срезе тонкой кишки. На трупном материале выполнены кишечные анастомозы по методу, предложенному автором. Изучено кровеносное русло человеческой тонкой кишки при различных вариантах ее пересечения и в кишечных анастомозах крыс линии Вистар, сформированных в условиях ОКН. Изучены осложнения и исходы операций у лабораторных животных. Проведено морфологическое исследование с оценкой воспаления и заживления в анастомозах крыс. Произведена статистическая обработка данных, сформулированы выводы. В исследовании применены светооптическая микроскопия, микроморфометрический метод, статистический анализ.

### Основные положения, выносимые на защиту

- 1. Данные анатомического исследования с микроморфометрией сосудистого русла стенки тонкой кишки при ее срезе под углом  $45^{0}$  к брыжеечному краю подтверждают обоснованность применения тонко-толстокишечного анастомоза «конец в конец» с пересечением тонкой кишки под углом  $45^{0}$  к брыжеечному краю для улучшения кровоснабжения линии тонко-толстокишечного анастомоза.
- 2. Пересечение тонкой кишки под углом  $45^0$  к брыжеечному краю увеличивает длину окружности тонкой кишки, что улучшает сопоставление с большей по диаметру толстой кишкой, уменьшает риск несостоятельности анастомоза за счет меньшего гофрирования толстой кишки в сравнении с обычным анастомозом «конец в конец».
  - 3. Использование предложенного метода тонко-толстокишечного

анастомоза «конец в конец» с пересечением тонкой кишки под углом  $45^{0}$  к брыжеечному краю в условиях экспериментальной острой кишечной непроходимости уменьшает частоту осложнений — несостоятельности анастомоза и абсцессов брюшной полости, обеспечивает меньшую летальность в сравнении с анастомозом «бок в бок».

4. Формирование тонко-толстокишечного анастомоза «конец в конец» с пересечением тонкой кишки под углом 45° к брыжеечному краю в условиях экспериментальной модели острой кишечной непроходимости позволяет увеличить площадь сосудистого русла, снизить выраженность воспалительной реакции и улучшить репаративные процессы в зоне анастомоза в сравнении с анастомозом «бок в бок».

Степень достоверности. Достоверность результатов исследования основана на измерении и морфологическом исследовании фрагментов тонкой и толстой кишки 22 умерших пациентов, о чем свидетельствует журнал измерений, представленный на проверку первичной документации. Проведены операции на 84 лабораторных крысах линии Вистар, что подтверждается записями в журнале эксперимента.

Апробация результатов. Результаты исследования доложены и обсуждены на: заседании кафедры факультетской хирургии ФГБОУ ВО «Новосибирский государственный медицинский университет» Минздрава России (Новосибирск, 2024); 16-й Российской (итоговой) научно-практической конференции международным участием студентов и молодых ученых «АВИЦЕННА-2025», посвященной 90-летию Новосибирского государственного медицинского университета (Новосибирск, 2025) – 2 место.

Диссертационная работа апробирована на заседании проблемной комиссии «Актуальные проблемы хирургических методов лечения заболеваний» ФГБОУ ВО «Новосибирский государственный медицинский университет» Минздрава России (Новосибирск, 2025).

Диссертация выполнена в соответствии с утвержденным направлением научно-исследовательской работы ФГБОУ ВО «Новосибирский государственный

медицинский университет» Минздрава России по теме «Разработка и совершенствование методов профилактики, раннего выявления и хирургического лечения повреждений и заболеваний органов грудной и брюшной полости, органов головы, шеи и опорно-двигательного аппарата», номер государственной регистрации 121061700005-9.

Внедрение исследования. Результаты, результатов полученные при изучении анатомического материала и в процессе экспериментального исследования предложенного способа тонко-толстокишечного анастомоза «конец в конец» с пересечением тонкой кишки под углом 45° к брыжеечному краю в условиях острой используются учебном непроходимости, В процессе факультетской ФГБОУ «Новосибирский хирургии BOгосударственный медицинский университет» Минздрава России.

**Публикации по материалам исследования.** По теме диссертации опубликовано 4 научные работы, в том числе 3 статьи в научных журналах и изданиях, включённых в перечень рецензируемых научных изданий, в которых должны быть опубликованы основные научные результаты диссертаций на соискание ученой степени кандидата наук, на соискание ученой степени доктора наук.

Структура и объём диссертации. Диссертация изложена на 147 страницах машинописного текста и состоит из введения, 4 глав, заключения, выводов, практических рекомендаций, списка сокращений и условных обозначений, списка литературы, списка иллюстративного материала и приложения. Список литературы представлен 230 источниками, из которых 112 в зарубежных изданиях. Полученные результаты проиллюстрированы с помощью 15 таблиц и 43 рисунков.

**Личный вклад автора.** Автором осуществлен забор трупного материала для анатомического исследования, изучено сосудистое русло тонкой кишки человека при различных вариантах срезов. Выполнены илеотрансверзоанастомозы на трупном материале с предварительным измерением длин окружностей тонкой и толстой кишки. Автор лично выполнила операции у 84 лабораторных животных, каждому из которых создавали модель ОКН, а затем выполняли правостороннюю

гемиколэктомию с формированием илеотрансверзоанастомоза. Были проанализированы результаты операций, проведено микроморфометрическое исследование анастомозов, осуществлена статистическая обработка результатов, сформулированы выводы на основании критериев достоверности различий.

## МАТЕРИАЛ И МЕТОДЫ ИССЛЕДОВАНИЯ

**Этапы исследования.** Исследование проведено на анатомическом материале и в эксперименте на лабораторных животных (Рисунок 1).

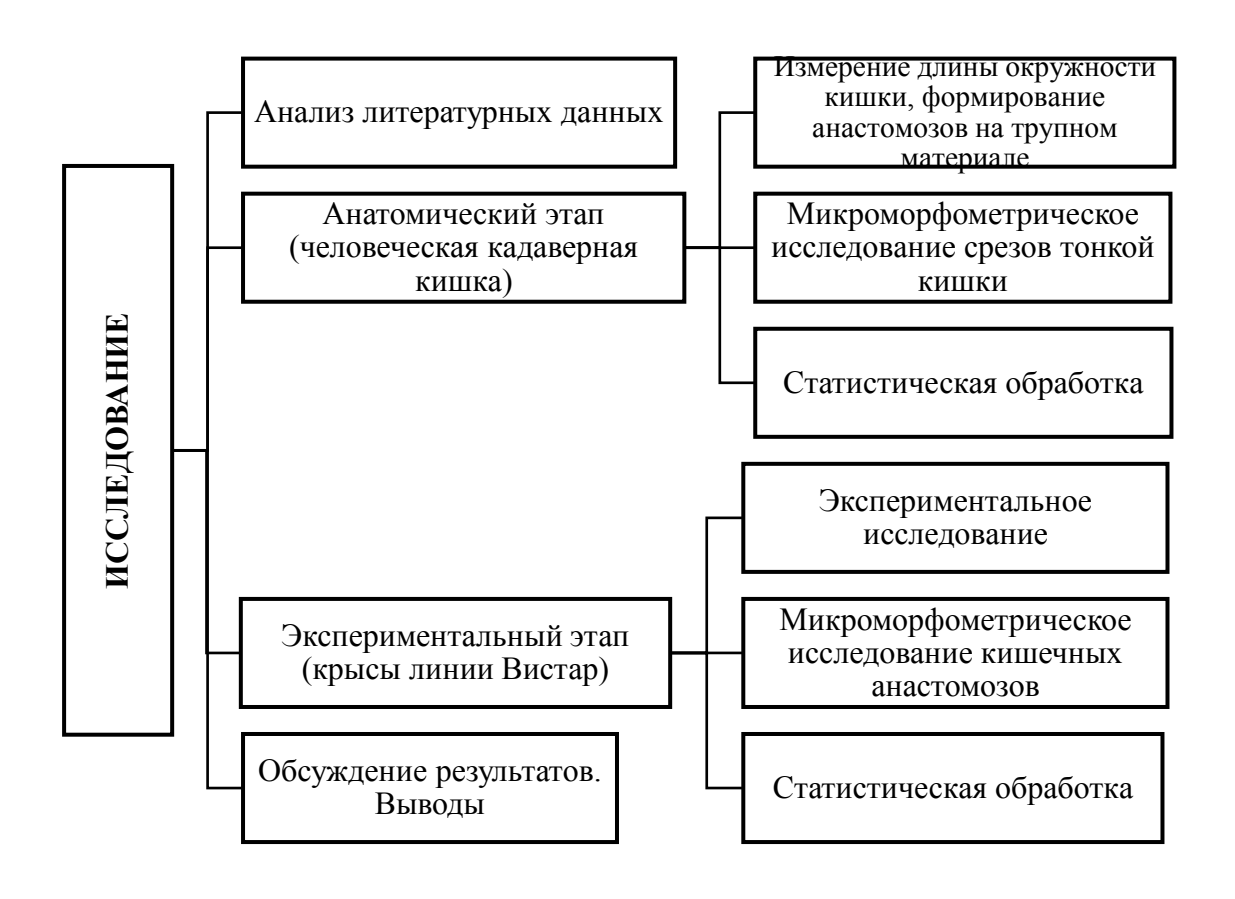


Рисунок 1 – Схема этапов исследования

Способ тонко-толстокишечного анастомоза. Способ автора заключается в косом пересечении тонкой кишки под углом  $45^{0}$  к брыжеечному краю кишки (Рисунок 2). В таком случае зона кишечного анастомоза со стороны тонкой кишки получает кровоснабжение от нескольких пар интрамуральных артерий, вместо одной пары, как при классическом анастомозе «конец в конец» (Рисунок 3).

Угол пересечения тонкой кишки выбран путем перебора различных вариантов косого пересечения тонкой кишки. Пересечение под углом  $45^{0}$  вовлекает в кровоснабжение 2-3 пары интрамуральных артерий, вместо одной пары, как при срезе в  $90^{0}$ . Пересечение под углом  $60^{0}$  образует срез, кровоснабжаемый 1-2 парами интрамуральных артерий, что меньше, чем при выборе угла в  $45^{0}$ . При пересечении тонкой кишки под углом  $30^{0}$  значимого увеличения количества артерий в сравнении с углом  $45^{0}$  не происходит, но возрастает угол между осями тонкой и толстой кишки, что увеличивает риск деформации в зоне анастомоза. Косой срез толстой кишки мог бы задействовать сосудистый резерв дополнительных интрамуральных артерий, однако, произошло бы увеличение длины окружности толстой кишки, что сильнее затруднило бы сопоставление с тонкой кишкой. Таким образом, для формирования тонкотолстокишечного анастомоза «конец в конец» был выбран срез тонкой кишки под углом  $45^{0}$  к брыжеечному краю, толстой кишки — под углом  $90^{0}$ . Угол между тонкой и толстой кишкой в данном случае составляет  $45^{0}$ , что не приводит к значимой деформации анастомоза (Рисунок 4).



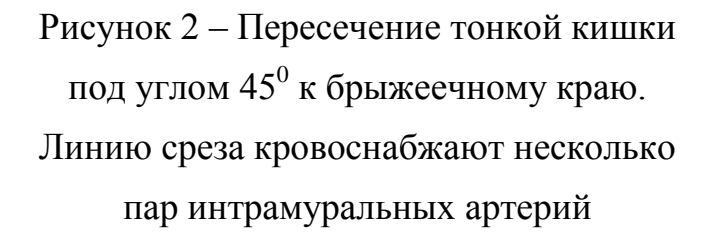




Рисунок 3 — Пересечение тонкой кишки под углом  $90^0$  к брыжеечному краю. Линию среза кровоснабжает одна пара интрамуральных артерий

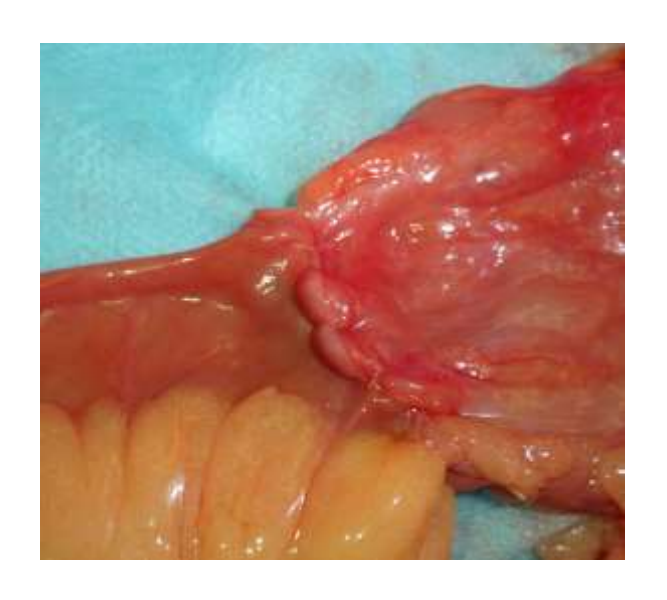


Рисунок 4 — Тонко-толстокишечный анастомоз «конец в конец» со срезом тонкой кишки под углом  $45^0$  к брыжеечному краю. Значимой деформации в зоне анастомоза нет

Измерение соотношения длин окружности тонкой и толстой кишки. На анатомическом этапе исследовали образцы тонкой кишки, извлеченные на аутопсии 22 пациентов (10 мужчин и 12 женщин), умерших от неабдоминальной патологии (ишемической болезни сердца, хронической церебральной ишемии). Забор материала осуществляли через 16–24 часа после смерти. Измеряли длину окружности толстой кишки и тонкой кишки при пересечении под углом 45° и 90° к брыжеечному краю. Результаты обрабатывали, рассчитывали прирост длины окружности тонкой кишки при косом срезе, соотношение между данными показателями тонкой и толстой кишки. Краевые участки кишки забирали для морфологического исследования. Далее формировали 22 тонко-толстокишечных анастомоза «конец в конец» со срезом тонкой кишки под углом 45° к брыжеечному краю. Таким образом отрабатывали технику косого илеотрансверзоанастомоза, визуально сравнивали гофрирование и деформацию в зоне анастомоза.

**Микроморфометрия сосудов тонкой кишки человека.** Исследовали образцы тонкой кишки 22 умерших. У каждого извлекали по три фрагмента тонкой кишки на расстоянии 30–40 см от илеоцекального угла. Один фрагмент забирали

параллельно линии среза тонкой кишки после пересечения под углом  $45^{0}$  к брыжеечному краю (первая исследуемая группа). Второй фрагмент тонкой кишки извлекали параллельно срезу под углом  $90^{0}$ . Третьим фрагментом выбран противобрыжеечный продольный участок кишечной стенки, где наиболее часто формируют илеотрансверзоанастомоз «бок в бок», кровоснабжение осуществляют терминальные отделы нескольких пар интрамуральных артерий (контрольная группа).

Препараты фиксировали в 10 % растворе формалина на фосфатном буфере с рН 7,4 в течение 24 часов. Производили обезвоживание в серии этанола возрастающей концентрации, просветляли в ксилоле и заключали в парафин. Из полученных блоков изготавливали стандартные гистологические препараты толщиной 3 мкм, направление вырезки и наклон среза парафиновых блоков осуществляли единым образом — параллельно линии рассечения кишки. Применяли окраску гематоксилин-эозин.

Микроскопическое исследование выполняли на микроскопе «Scope.A1» (Carl Zeiss, Германия), микрофоторегистрацию на цифровой фотокамере «AxioCam ICc 5» (Carl Zeiss, Германия). Подсчет производили на микрофотографиях, полученных при оптическом увеличении микроскопа × 400. В операционной системе «Windows 10» в программе для анализа и обработки изображений «ImageJ» оконтуривали отдельно подслизистый и мышечный слой. Далее применяли цветовые фильтры для выделения сосудистой площади. Расчитывали отношение площади сосудов к площади выбранного слоя кишечной стенки в процентах. Таким образом вычисляли относительную площадь артерий и вен по отдельности в подслизистом и мышечном слое. Подсчет выполняли в 10 непересекающихся полях зрения в каждом образце, вычисляли среднее арифметическое значение.

Методика экспериментального этапа исследования. Статистическая обработка результатов анатомического этапа исследования выявила увеличение площади сосудов на срезе кишки при косом пересечении, что позволило перейти к апробации способа на экспериментальном этапе. Сравнение групп в анатомическом исследовании выявило статистически незначимые различия сосудистой площади при

срезе под углом  $90^{0}$  и на продольном противобрыжеечном участке кишки, что указывает на идентичные условия кровоснабжения среза кишки в данных группах. Кроме того, необходимо отметить малую практическую актуальность классического тонко-толстокишечного анастомоза «конец в конец» и широкое практическое применение анастомоза «бок в бок», что обусловлено техническими трудностями при формировании конце-концевого анастомоза из значительно отличающихся по диаметру участков кишки. Перечисленные факторы явились основанием для сравнения в эксперименте тонко-толстокишечного анастомоза «конец в конец» со срезом тонкой кишки под углом  $45^{0}$  с анастомозом «бок в бок», как с наиболее актуальным и технически удобным способом.

Для эксперимента отобрали самок крыс линии Вистар в возрасте 4–5 месяцев, весом 220–300 грамм, общее число животных – 84 особи. В контрольную группу включили 48 крыс, а в исследуемую – 34. В обеих группах на первом этапе исследования под общей анестезией выполняли лапаротомию и моделировали ОКН ободочной кишки путем перевязки восходящей лигатурой дистальнее Через 24 часа илеоцекального угла. после первой операции проводили релапаротомию в аналогичных условиях анестезии и асептики. У всех животных была выявлена ОКН. Далее выполняли правостороннюю гемиколэктомию с лигированием a. ileocolica, a. colica dextra.

В контрольной группе после гемиколэктомии лигировали культи тонкой и толстой кишки, выполняли илеотрансверзоанастомоз «бок-в-бок» однорядным непрерывным обвивным сквозным швом нитью Пролен 7/0 на колющей игле с применением налобной бинокулярной лупы с осветителем (Рисунок 5). В исследуемой группе при выполнении правосторонней гемиколэктомии тонкую кишку пересекали под углом  $45^0$  к брыжеечному краю, толстую кишку пересекали под углом  $90^0$ , выполняли анастомоз «конец в конец» аналогичным швом (Рисунок 6).



Рисунок 5 — Тонко-толстокишечный анастомоз «бок в бок» (контрольная группа)



Рисунок 6 — Тонко-толстокишечный анастомоз «конец в конец» с пересечением тонкой кишки под углом 45<sup>0</sup> к брыжеечному краю (исследуемая группа)

На 7-е сутки после второй операции выживших животных выводили из эксперимента путем передозировки Телазола. Оценивали состоятельность анастомоза, наличие абсцессов брюшной полости и перитонита. Участки кишечника с анастомозом иссекали для морфологического исследования.

Морфологическое исследование анастомозов. Для морфологического исследования забирали кишечные анастомозы в виде «колец». Направление вырезки и наклон среза парафиновых блоков осуществляли параллельно плоскости анастомоза. Для исследования сосудов и мигрировавших в кишечную стенку клеток применяли окраску гематоксилин-эозин, для верификации коллагеновых волокон — по Ван Гизону, для оценки слизистой оболочки — альциановый синий. Микроскопическое исследование и фоторегистрацию выполняли на световом микроскопе «Scope.A1» (Carl Zeiss, Германия) и цифровой фотокамере «AxioCam ICc 5» (Carl Zeiss, Германия).

В первую очередь определяли площадь кровеносных сосудов, которая прямо коррелирует с объемом и интенсивностью кровотока. Площадь кровеносного русла в

зоне анастомоза рассчитывали как суммарную площадь артерий и вен, которую вычисляли путем обработки цифровых микрофотографий в программе «ImageJ». Затем оценивали эффект улучшения кровоснабжения анастомоза по выраженности местного воспаления, которое коррелирует с количеством нейтрофилов, макрофагов и лимфоцитов. Чем значительнее инфильтрация перечисленными клетками в области кишечного соустья, тем хуже условия репарации. Процесс заживления обусловлен деятельностью клеток фибробластического ряда, которые синтезируют коллагеновые белки и компоненты межклеточного матрикса рубцовой ткани. Результат функционирования клеток фибробластического ряда оценивали по содержанию коллагена: определяли процент площади коллагеновых волокон от общей площади подслизистого и мышечного слоя. Учитывая неодинаковую толщину слоев кишечной стенки у разных особей, математически расчитывали количество клеток в 1 мм². Все морфометрические значения получены в 10 случайных непересекающихся полях зрения, выбрано среднее значение каждого параметра.

Состояние слизистой оболочки оценивали по индексу ворсинка/крипта — отношению высоты ворсинки к глубине крипты. Представление об общем состоянии анастомозов получали путем присвоения баллов по критериям шкалы гистопатологической оценки анастомоза Verhofstad.

Статистическая обработка данных. Анализ полученных данных проводили в программе Statsoft Statistica 10.0 (Статистика 10.0), MS Excel и MS Word из пакета MS Office. Качественные данные приведены в формате абсолютного значения и процентов от общего количества — n (%), группы сравнивали с применением двустороннего точного критерия Фишера. Затем статистически обрабатывали результаты микроморфометрического исследования, которые проверяли на соответствие закону нормального распределения тестом Шапиро — Уилка. Значения параметров представлены в формате медианы и интерквартильного размаха — Ме (LQ; UQ). Достоверность различий между группами устанавливали по тесту Манна — Уитни. Различия признавали статистически достоверными при значении доверительного интервала р < 0,05.

#### РЕЗУЛЬТАТЫ ИССЛЕДОВАНИЯ И ОБСУЖДЕНИЕ

**Измерение окружностей тонкой и толстой кишки.** Сравнение результатов измерения окружности тонкой кишки выявило увеличение длины окружности тонкой кишки при срезе под углом  $45^0$  на 36,4% в сравнении со срезом под углом  $90^0$  (Таблица 1).

Таблица 1 – Измерение длины окружности кишки, соотношение анастомозируемых участков кишки перед формированием анастомоза «конец в конец»

	Длина окружнос	Соотношение длин	
Параметр	(интерквартильный размах)		окружностей: толстая
	тонкая кишка	толстая кишка	кишка / тонкая кишка
Срез тонкой кишки под углом $90^{0}$ , $n = 22$	66 (64; 68)	106 (104; 110)	1,63 (1,56; 1,67)
Срез тонкой кишки под углом $45^0$ , $n=22$	90 (86; 92)	106 (104; 110)	1,20 (1,16; 1,22)
р-уровень значимости	p < 0,01		p < 0,01

Морфометрическое исследование сосудов стенки тонкой кишки. Сравнение результатов площади сосудистого русла выявило увеличение площади артерий подслизистого слоя при срезе тонкой кишки под углом 45<sup>0</sup> на 84,3 % по сравнению со срезом под углом  $90^{\circ}$ , и на 77,1% относительно группы с противобрыжеечным участком кишки, р < 0,01 (Таблица 2). В мышечном слое артериальная площадь превалировала в группе с косым срезом: на 94,6 % в сравнении с группой со срезом под прямым углом и на 86,6 % больше, чем на противобрыжеечном участке кишки (р < 0,01). При подсчете венозной площади получено преимущество в группе косого среза: в подслизистом слое площадь вен больше на 97 % в сравнении со срезом под прямым углом, и на 79,7 % больше, чем на продольном противобрыжеечном участке кишки (р < 0,01). В мышечном слое венозная площадь при косом срезе больше соответственно на 108,4 % и на 92,2 % в сравнении со срезом под прямым углом и на противобрыжеечном участке кишки (p < 0.01). При сравнении группы со срезом под углом  $90^{0}$  и группы с продольным противобрыжеечным участком кишки получено единственное статистически значимое различие сосудистой площади для относительной площади вен подслизистого слоя: на 9,6 % больше на противобрыжеечном участке тонкой кишки (p=0,04).

Таблица 2 — Относительная площадь артерий и вен по линии пересечения тонкой кишки человека, % от поля зрения, медиана (интерквартильный размах)

	Первая	Вторая		
	исследуемая	исследуемая	Контрольная	
Параметр	группа (срез	группа (срез	группа	р-уровень
Параметр	тонкой кишки	тонкой кишки	(противобрыжееч	значимости
	под углом $45^0$ ),	под углом $90^0$ ),	ный край), n = 22	
	n = 22	n = 22		
Артерии.				р1и-2и < 0,01
Подслизистый слой	5,88 (5,26; 6,46)	3,19 (2,58; 3,57)	3,32 (2,65; 3,84)	р1и-к < 0,01
поделизистый слои				р2и-к = 0,37
Артерии. Мышечный				р1и-2и < 0,01
слой	1,81 (1,37; 2,06)	0,93 (0,79; 1,01)	0,97 (0,78; 1,15)	р1и-к < 0,01
Слои				р2и-к = 0,55
Вены. Подслизистый	21,47 (20,06;	10,90 (9,67;	11,95 (11,17;	р1и-2и < 0,01
слой	23,42)	12,13)	13,1)	р1и-к < 0,01
Слои	23,42)	12,13)	13,1)	р2и-к = 0,04
Вены. Мышечный				р1и-2и < 0,01
слой	4,96 (4,34; 5,36)	2,38 (2,04: 2,87)	2,58 (2,39; 2,93)	р1и-к < 0,01
CHOM				р2и-к = 0,19

**Исходы операций у экспериментальных животных.** Способ формирования кишечного анастомоза коррелировал с общей летальностью, которая в контрольной группе в 2,4 раза превысила летальность в исследуемой группе, р = 0,03 (Таблица 3).

Таблица 3 – Исходы операций в эксперименте, количество особей (%).

	Контрольная	Исследуемая	Двусторонний
Показатель	группа, n = 48	группа, n = 36	точный критерий
			Фишера
Выживаемость	29 (60,4 %)	30 (83,3 %)	p = 0.03
Общая летальность	19 (39,6 %)	6 (16,7 %)	p = 0.03
Летальность, анастомоз состоятелен	8 (16,7 %)	4 (11,1 %)	p = 0.54
Летальность, несостоятельность	11 (22,9 %)	2 (5,6 %)	p = 0.035
анастомоза	== (===,> /3)	= (2,98,78)	r 3,000
Абсцессы	13 (27,1 %)	3 (8,3 %)	p = 0.048

Не было получено статистически значимых различий при сравнении групп по количеству животных, погибших от продолжающегося перитонита в первые трое суток после операции. Однако, летальность в более поздние сроки по причине несостоятельности анастомоза в группе с анастомозом «бок в бок» оказалась в 4,1 раза выше, чем в группе с косым срезом, различие статистически достоверно на уровне p = 0.035. Частота абсцессов брюшной полости в исследуемой группе в 3,3 раза меньше, чем в контрольной группе (p = 0.048).

Микроморфометрическое исследование кишечных анастомозов. Результаты вычисления относительной площади сосудов демонстрируют статистически достоверное преимущество исследуемой группы над контрольной (Таблица 4): сосудистая площадь больше на 12,2 % в подслизистом слое (p = 0,015) и на 27.0% – в мышечном слое (p < 0.01). Полученные данные являются доказательством того, что пересечение тонкой кишки под углом 45<sup>0</sup> к брыжеечному краю существенно повышает площадь сосудов на срезе кишки, в результате увеличивается кровоток в области анастомоза.

Таблица 4 — Относительная площадь сосудов тонкой кишки, % от площади слоя кишечной стенки. Результаты представлены в формате медиана (интерквартильный размах)

Группа	Подслизистый слой	Мышечный слой
Контрольная группа, n = 29	18,1 (16,6; 20,3)	7,4 (6,9; 8,6)
Исследуемая группа, n = 30	20,3 (17,4; 23,2)	9,4 (8,3; 10,6)
р-уровень значимости	p = 0.02	p < 0,01

Микроморфометрическое исследование иммунных клеток кишечных анастомозов. В исследуемой группе количество нейтрофилов оказалось ниже на 25,5 % в подслизистом слое (p < 0,01) и на 32,4 % — в мышечном слое, p < 0,01 (Таблица 5). Инфильтрация лимфоцитами в исследуемой группе ниже на 17,6 % в подслизистом слое (p < 0,01) и на 11,6 % — в мышечном слое (p < 0,01). Численная плотность макрофагов в группе с косым срезом тонкой кишки на 8,5 % меньше в подслизистом слое (p = 0,02) и на 10,7 % меньше в мышечном слое (p = 0,02) при сравнении с группой анастомозов «бок в бок».

Таблица 5 — Количество клеток в 1 мм<sup>2</sup> тонкой кишки. Результаты представлены в формате медиана (интерквартильный размах)

Клетки	Контрольная	Исследуемая	р-уровень
КЛСТКИ	группа, n = 29	группа, n = 30	значимости
Нейтрофильные лейкоциты.	43,6 (39,1; 48,6)	32,5 (28,4; 35,1)	p < 0,01
Подслизистый слой	43,0 (33,1, 40,0)	32,3 (26,4, 33,1)	p < 0,01
Нейтрофильные лейкоциты.	39,5 (36,2; 42,6)	26,7 (24,8; 29,3)	p < 0,01
Мышечный слой	37,3 (30,2, 42,0)	20,7 (24,0, 27,3)	p < 0,01
Лимфоциты. Подслизистый слой	35,3 (32,3; 37,3)	29,1 (25,0; 31,9)	p < 0,01
Лимфоциты. Мышечный слой	30,2 (27,2; 32,3)	26,7 (23,2; 28,3)	p < 0,01
Макрофаги. Подслизистый слой	24,7 (21,3; 27,0)	22,6 (20,2; 24,7)	p = 0,02
Макрофаги. Мышечный слой	24,4 (21,6; 27,2)	21,8 (18,3; 25,1)	p = 0,02

Микроморфометрическое исследование параметров заживления кишечных анастомозов. Общее количество фибробластов и фиброцитов было больше в анастомозах исследуемой группы: на 32,9~% в подслизистом слое (p < 0,01) и на 13,6~% в мышечном слое, p < 0,01 (Таблица 6).

Таблица 6 — Количество клеток фибробластического ряда в 1 мм<sup>2</sup> тонкой кишки. Результаты представлены в формате медиана (интерквартильный размах).

Группа	Подслизистый слой	Мышечный слой
Контрольная группа, n = 29	14,6 (13,2; 15,9)	23,6 (20,8; 26,2)
Исследуемая группа, n = 30	19,4 (18,4; 21,2)	26,8 (24,3; 27,9)
р-уровень значимости	p < 0,01	p < 0,01

Площадь коллагеновых волокон значительнее в группе с косым срезом тонкой кишки на 24.8 % в подслизистом слое (p < 0.01) и на 20.2 % в мышечном слое (p < 0.01) при сравнении с группой анастомозов «бок в бок» (Таблица 7).

Таблица 7 — Относительная площадь коллагена в стенке тонкой кишки, % от поля зрения. Результаты представлены в формате медиана (интерквартильный размах).

Группа	Подслизистый слой	Мышечный слой
Контрольная группа, n = 29	28,2 (22,6; 32,4)	17,3 (12,8; 21,3)
Исследуемая группа, n = 30	35,2 (30,8; 43,4)	20,8 (16,9; 23,4)
р-уровень значимости	p < 0,01	p < 0,01

Репарацию слизистой оболочки оценивали по индексу ворсинка/крипта, который оказался хуже в контрольной группе: 1,5 (1,0; 1,5) против 2,0 (1,5; 2,0) в исследуемой группе, различие статистически достоверно, р < 0,01. Для стандартизации результатов морфологического исследования была применена шкала гистопатологической оценки Verhofstad (Рисунок 7). Получены статистически значимые различия по следующим параметрам: в контрольной группе выраженнее некроз и отек (2 балла против 1 в исследуемой группе), сильнее повреждение слизистой оболочки (3 балла против 2), больше инфильтрация полиморфноядерными лейкоцитами (3 балла

против 2). Итоговая оценка анастомозов составила 9 баллов в исследуемой группе и 12 баллов в контрольной группе.

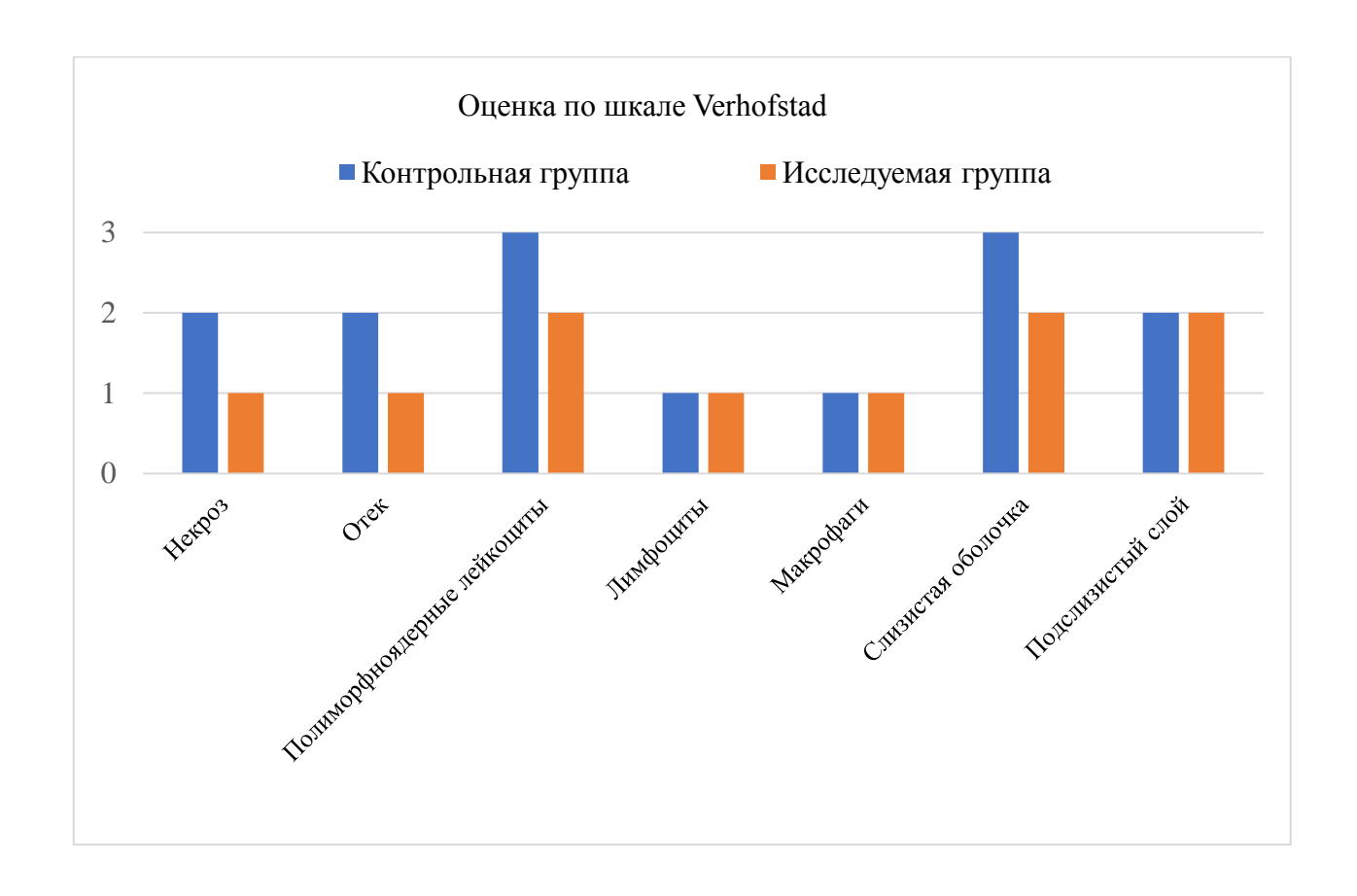


Рисунок 7 – Диаграмма. Критерии по шкале Verhofstad, медиана, баллы от 0 до 3

#### **ВЫВОДЫ**

- 1. Пересечение тонкой кишки под углом  $45^{0}$  к брыжеечному краю перед формированием тонко-толстокишечного анастомоза «конец в конец» способствует увеличению площади на срезе кишки: артериального русла на 77,1-94,6%, венозного русла на 79,7-108,4% в сравнении со срезом кишки под углом  $90^{0}$  для анастомоза «конец в конец» и с продольным противобрыжеечным участком кишки, где формируют анастомоз «бок в бок».
- 2. Формирование тонко-толстокишечного анастомоза «конец в конец» с применением косого среза тонкой кишки под углом  $45^0$  к брыжеечному краю увеличивает длину окружности тонкой кишки в зоне анастомоза на 36,4 %, что

повышает соответствие окружностей анастомозируемых участков тонкой и толстой кишки на 26,4 %, предотвращая деформацию и сужение анастомоза.

- 3. Использование способа тонко-толстокишечного анастомоза с пересечением тонкой кишки под углом 45° к брыжеечному краю перед формированием анастомозов «конец в конец» в сравнении с анастомозами «бок в бок» приводит к уменьшению частоты несостоятельности анастомоза в 4,1 раза, снижению частоты абсцессов брюшной полости в 3,3 раза, уменьшению общей летальности в 2,4 раза.
- 4. В стенке тонко-толстокишечного анастомоза «конец в конец» с пересечением тонкой кишки под углом 45° к брыжеечному краю площадь сосудов возрастает на 12,2–27,0 % за счет кровоснабжения стволами нескольких пар интрамуральных артерий, а не их терминальными отделами, как в случае анастомоза «бок в бок». Увеличение сосудистого русла приводит к уменьшению воспалительной инфильтрации нейтрофильными лейкоцитами на 25,5–32,4 %. В результате в зону анастомоза мигрирует на 13,6–32,9 % больше клеток фибробластического ряда, площадь коллагена увеличивается на 20,2–24,8 %, что количественно отражает улучшение репаративного процесса в области анастомоза.

### ПРАКТИЧЕСКИЕ РЕКОМЕНДАЦИИ

При разновеликих диаметрах тонкой и толстой кишки после резекции кишечника у экспериментальных животных по поводу острой кишечной непроходимости целесообразно пересекать тонкую кишку под углом  $45^0$  к брыжеечному краю.

### СПИСОК РАБОТ, ОПУБЛИКОВАННЫХ ПО ТЕМЕ ДИССЕРТАЦИИ

- 1. Профилактика несостоятельности тонкотолстокишечного анастомоза в условиях острой кишечной непроходимости (экспериментальное исследование) / **Т. С. Белякова**, К. В. Атаманов, Ю. С. Вайнер [и др.] // **Неотложная хирургия им. И. И. Джанелидзе**. − 2025. − № 1. − С. 08−15. DOI 10.54866/27129632\_2025\_1\_8
- 2. **Белякова, Т. С.** Факторы риска и интраоперационные подходы к профилактике несостоятельности кишечных анастомозов / **Т. С. Белякова**,

- К. В. Атаманов, Ю. С. Вайнер // **Вятский медицинский вестник**. 2025. № 86 (2). С. 68–72. DOI 10.24412/2220-7880-2025-1-68-72
- 3. Способ профилактики несостоятельности илеотрансверзоанастомоза в условиях острой кишечной непроходимости / **Т. С. Белякова**, К. В. Атаманов, Ю. С. Вайнер [и др.] // **Сибирский медицинский вестник.** − 2025. − Т. 9, № 3. − С. 38–47. DOI: 10.31549/2541-8289-2025-9-3-38-47.
- 4. Профилактика несостоятельности тонко-толстокишечного анастомоза в условиях острой кишечной непроходимости (экспериментальное исследование) (тезисы) / **Т. С. Белякова**, А. А. Дорофеева, А. В. Кириллова [и др.] // Материалы XVI Российской (итоговой) научно-практической конкурс-конференции с международным участием студентов и молодых ученых «АВИЦЕННА-2025», посвященной 90-летию Новосибирского государственного медицинского университета. 2025. Т. 3. С. 350–351.

# СПИСОК СОКРАЩЕНИЙ

ОКН – острая кишечная непроходимость

НА – несостоятельность анастомоза